


# Analyse de données

L. BELLANGER

Master 1 Ingénierie Statistique  
Dpt de Mathématiques - Université de Nantes

1

## Plan ch. II

1. Principe de l'ACP
2. Eléments principaux de l'ACP
3. Interprétation et qualité des résultats d'une ACP
4. Tableau de distances (PCoA)
5. Exemples sous  : Olympic

3

## Plan

- O. Introduction
- I. Outils de représentation d'un échantillon
- II. Analyse en Composantes Principales (ACP)
- III. Analyse Factorielle des Correspondances (AFC)
- IV. Classification et Classement
- V. Conclusion

2

## Brève introduction ...

- **But de l'ACP**
  - Etudier les *liaisons entre plusieurs variables quantitatives* et permettre une description synthétique du tableau, essentiellement sous forme de *cartes* de telle sorte que:
    - Les représentations graphiques (nuage de points et nuage de variables) soient optimales : déformation des distances par projection dans un sous-espace réduite.
- **Principe**
  - À partir de  $p$  variables initiales **continues**, construire  $k$  ( $\leq p$ ) autres variables, appelées **composantes principales (CP)**, combinaisons linéaires des variables initiales, telles que :
    - les CP sont **ordonnées** selon l'information (variance) qu'elles restituent,
      - la 1<sup>ère</sup> étant celle qui restitue le plus d'information
    - la part d'information restituée par chaque CP est connue, et des critères permettent de décider combien de CP il est pertinent de conserver
    - les CP sont des vecteurs orthogonaux, i.e. des variables **non corrélées** entre elles
  - Origine : Karl Pearson (1901) – Harold Hotelling (1933)

4

## Brève introduction ...

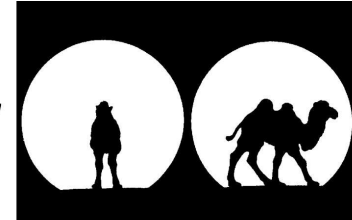
### • Intérêt de l'ACP

- Présenter synthétiquement les données sous forme de cartes
- Simplifier et schématiser les liaisons entre variables ; détecter des liaisons entre variables
- Localiser les regroupements d'individus ou de variables
- Détecter des individus exceptionnels ou aberrants, d'éventuels groupes isolés d'individus
- Construire des variables synthétiques non-corrélées (régression sur CP, ...)

5

## 1. Principe de l'ACP : projeter la réalité sur un plan

Figure de J.P. Fenelon



- Nous avons l'habitude de dessiner ou photographier la réalité.
- Nous naturellement passons d'un espace à 3 dimensions à un espace à 2 dimensions.
- Selon le point de vue, l'information retenue ne sera pas la même.
- L'ACP nous propose un point de vue permettant de voir au mieux les individus d'un tableau.

7

## 1. Principe de l'ACP

### • Projection des individus dans un sous-espace

- **Recherche des directions privilégiées** du nuage - selon des axes d'allongement maximum  
le «chameau» cf. diapo suivante
- **Transformation des axes** (variables) originaux en un nouveau système d'axes factoriels orthogonaux de variance maximum et d'importance décroissante

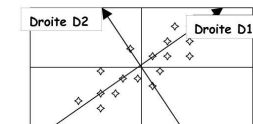
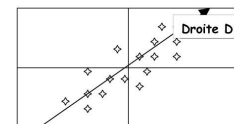
### • Objectif final

- **Réduction** de la dimension et **Visualisation** dans des espaces à 2 ou 3 dimensions **pour mieux comprendre la structure des données**

6

## 1. Principe de l'ACP : résumer les données

- Lorsqu'on projette les données sur un plan, on obtient un graphique déformé de la réalité.
- Le rôle de l'ACP est de trouver des espaces de dimensions plus petites minimisant ces déformations.
- On utilise un espace à 2 dimensions (un plan). Ce plan est appelé le plan principal. Il est constitué de deux droites perpendiculaires.
- La méthode consiste à calculer la première droite D1 de façon à **maximiser** les carrés des distances de projection des points sur la droite.



- Puis une 2ème droite D2 perpendiculaire à la première.

8

## 1. Principe de l'ACP : les composantes principales

- Les droites D1 et D2 sont des caractères synthétiques obtenus par des combinaisons linéaires avec les variables d'origines.
- Ces droites sont appelées **composantes principales**, ou **axes principaux**.
- La première composante principale doit "**capturer**" le maximum d'inertie du tableau des données. La variance des individus doit être maximale.
- Il reste un résidu non expliqué par cette première composante. C'est sur ce résidu qu'est calculée la deuxième composante principale.

9

## 1. Principe de l'ACP

### 1<sup>ère</sup> présentation

#### • *Projection des individus dans un sous-espace*

Selon que l'on regarde les individus ou les variables dans X, on peut se poser 2 questions complémentaires :

- les **individus** sont-ils **proches** ou **éloignés** ?
  - Regard sur les distances entre indiv.
  - Recherche d'une représentation qui les déforme le moins possible
- les **variables**, généralement **corrélées**, peuvent-elles être transformées pour donner d'autres variables aux propriétés plus intéressantes ?

11

## 1. Principe de l'ACP : propriétés des composantes principales

- La première composante principale "**capture**" le maximum d'inertie du tableau des données.
- La deuxième composante principale est un complément, une correction de la première.
- La deuxième composante principale doit avoir une corrélation linéaire nulle avec la première (orthogonalité).
- Il n'y a pas de redondance d'information entre deux composantes principales.
- On calcule les autres composantes de la même manière.

10

## 1. Principe de l'ACP

### 1<sup>ère</sup> présentation

#### • *Projection des individus dans un sous-espace*

#### Principe de la méthode :

- Obtenir une représentation approchée du nuage des  $n$  individus dans un sous-espace de faible dimension  $k (< p)$ .
- Pour y parvenir, nous allons **projeter** les individus sur un sous-espace de dimension faible ( $k = \dim$  de ce sous-espace) choisie suivant le critère suivant :

➢ *Les distances en projection devront être le moins déformées possibles (mais rétrécies !)*

Ce qui se traduit par :

➢ *Le sous-espace  $F_k$  de dim  $k$  recherché est tq la moyenne des carrés des distances entre projections soit la plus grande possible.*

ou

➢ *L'inertie du nuage projeté sur le ss-espace  $F_k$  doit être maximale.*

12

## 1. Principe de l'ACP

### 1ère présentation

#### • Projection des individus dans un sous-espace

Ces 2 critères sont justifiés puisque les distances ne peuvent que en projection orthogonale :

- $f_1$  et  $f_2$  : projections resp. de  $x_1$  et  $x_2$  sur  $F_2$  ;
- $a_1$  et  $a_2$  : coord. resp. de  $f_1$  et  $f_2$  sur le 1<sup>er</sup> axe  $\Delta_1$  ;
- $b_1$  et  $b_2$  : coord. resp. de  $f_1$  et  $f_2$  sur le 2<sup>ième</sup> axe  $\Delta_2$ .

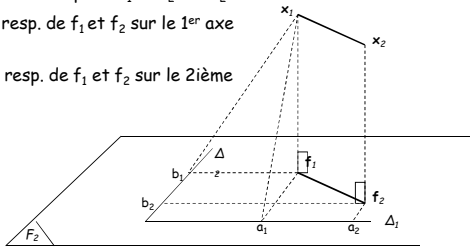


Fig. Projection du nuage des indiv. ds un sous-espace de dim 2

13

## 1. Principe de l'ACP

### 1ère présentation

#### • Projection des individus dans un sous-espace

- Il suffit de **déterminer** le sous-espace vectoriel de dim 1 de  $\mathbb{R}^p$  (i.e. le **vecteur directeur de la droite passant par le pt moyen**  $\bar{x} \in \mathbb{R}^p$  si on suppose le nuage centré) qui maximise l'inertie du nuage projeté sur cette droite.

➤ Soit  $a \in \mathbb{R}^p$  le vecteur directeur de cette droite  $\Delta$ , on peut mq :  $P (p \times p)$ , le **projecteur Q-orthogonal sur  $\Delta$**  s'écrit :

$$P = a(a^T Q a)^{-1} a^T Q = \frac{a a^T Q}{a^T Q a} \text{ puisque } a^T Q a \in \mathbb{R}$$

➤ L'inertie du nuage projetée sur cette droite est donc :

$$tr(S_1 P) = \frac{a^T Q S Q a}{a^T Q a} = \lambda$$

➤ Il faut donc rendre maximum cette quantité pour trouver  $a$ , soit en dérivant l'expression précédente par rapport à  $a$  :

$$S Q a = S_1 a = \lambda a$$

15

## 1. Principe de l'ACP

### 1ère présentation

#### • Projection des individus dans un sous-espace

#### 2 résultats importants :

1. L'inertie du nuage projeté vaut :  $tr(SQP) = tr(S_1 P)$   
où  $P$  est l'opérateur de projection Q-orthogonal sur  $F_k$  et  $S = X^T D X$   
Rappel:  $Q$  métrique dans l'espace des individus inclus dans  $\mathbb{R}^p$ ,  
en général  $Q = I_p$  ou  $Q = diag(S)^{-1}$
2.  $I_{G \oplus G'} = I_G + I_{G'}$   
où  $G$  et  $G'$  sont 2 sous-espaces orthogonaux de l'espace des individus.

#### Il découle le Théorème fondamental:

Soit  $F_k$  un sous-espace portant l'inertie maximale ;  
⇒ le sous-espace de dimension  $k+1$  portant l'inertie maximale est la **somme directe** de  $F_k$  et du sous-espace de dimension 1, Q-orthogonal à  $F_k$ , portant l'inertie maximale.

Les solutions sont « emboîtées ».

Dem : ouvrages de ref AD, Lebart & Morineau, ...

14

## 1. Principe de l'ACP

### 1ère présentation

#### • Projection des individus dans un sous-espace

En choisissant pour  $a$  le vecteur propre associé à la plus grande valeur propre de  $S_1 = S Q$ , on obtient le sous-espace vectoriel de dimension 1 sur lequel l'inertie du nuage projeté est **maximale**.

Cette propriété se généralise à l'ordre  $k$  :

Le sous-espace  $F_k$  de dim  $k$  est engendré par les  $k$  vecteurs propres de  $S_1$  associés aux  $k$  plus grandes valeurs propres.

16

## Rappel: Triplet (X, Q, D) des données

### La forme du tableau de données X centré

un tableau de données X est une représentation rectangulaire à **n lignes** et **p colonnes** de la forme :

$$X = \begin{bmatrix} x_1^1 & \dots & x_1^j & \dots & x_1^p \\ \vdots & & \vdots & & \vdots \\ x_i^1 & \dots & x_i^j & \dots & x_i^p \\ \vdots & & \vdots & & \vdots \\ x_n^1 & \dots & x_n^j & \dots & x_n^p \end{bmatrix} \quad \begin{array}{l} \leftarrow \text{individu } i : \text{vecteur ligne dans } \mathbb{R}^p \\ \text{variable } j : \text{vecteur colonne dans } \mathbb{R}^n \end{array}$$

### 2 nuages de points:

- nuage des  $n$  individus dans  $\mathbb{R}^p$
- nuage des  $p$  variables dans  $\mathbb{R}^n$

17

## 1. Principe de l'ACP

- Résumé des propriétés des élt principaux : schéma de dualité ACP

$$(X, Q, D) \Leftrightarrow \begin{array}{ccc} [p] & \xrightarrow{Q} & [p] \\ (X, Q, D) \Leftrightarrow X^T \uparrow & & \downarrow X \\ [n] & \xleftarrow{D} & [n] \end{array}$$

- Où
  - X centrée,
  - Chaque ligne du tableau est assimilée à un vecteur de  $\mathbb{R}^p$
  - Chaque colonne du tableau est assimilée à un vecteur de  $\mathbb{R}^n$
  - $Q = I_p$  ou  $Q = \text{diag}(S)^{-1}$ , métrique de  $\mathbb{R}^p$  et
  - $D = I_n/n$  ou  $D = \text{diag}(p_i)$ , matrice des poids des indiv., métrique de  $\mathbb{R}^n$
- L'ACP du triplet (X, Q, D) : les tableaux obtenus à partir de la DVS de (X, Q, D).

19

## Rappel: Triplet (X, Q, D) des données

Un jeu de données est constitué par un triplet (X, Q, D) défini par les 3 éléments suivants:

1.  $X = [x_i^j] \in \mathcal{M}_{n \times p}$  matrice des données brutes  $n$  mesures de  $p$  variables, quantitatives ou non ;
2.  $Q \in \mathcal{M}_{p \times p}$ , métrique Euclidienne sur l'espace  $\mathbb{R}^p$  des lignes  $x_i \in \mathbb{R}^p$  de X ;  $Q = I_p$  ou  $(\text{diag}(S))^{-1}$
3.  $D \in \mathcal{M}_{n \times n}$ , métrique Euclidienne sur l'espace  $\mathbb{R}^n$  des colonnes  $x^j \in \mathbb{R}^n$  de X, qui sera **toujours diagonale**.  
 $D = \text{diag}(p_1, \dots, p_n)$ .

L'espace Euclidien  $(\mathbb{R}^n, D)$  (resp.  $(\mathbb{R}^p, Q)$ ) est l'espace des variables (resp. des individus).

### Notation

$$r = \text{rang}(X) \leq \min(n, p)$$

18

## 1. Principe de l'ACP

### 2ème présentation : Généralisation de la DVS

- La plupart des méthodes de l'AD peuvent être présentées dans un cadre commun : celui de l'extension du théorème de la DVS au cadre d'espaces Euclidiens plus généraux.
- Le choix d'une métrique permettra d'adapter cette technique générale appelée **ACP du triplet (X, Q, D)** au pb posé par le type de données à traiter.
- Historiquement, l'ACP correspond au triplet :
  - $X \in \mathcal{M}_{n \times p}$  matrice des variables centrées (éventuellement réduites)
  - $Q = I_p$  métrique usuelle sur l'espace des individus,
  - $D = n^{-1}I_n$  métrique sur l'espace des variables.

20

## 1. Principe de l'ACP

### 2ème présentation : Généralisation de la DVS

#### • DVS du triplet (X, Q, D)

**Rappel :** DVS « maigre » dans le cas usuel:

Soit la matrice réelle  $X \in \mathcal{M}_{n \times p}$  de rg  $r$  alors il existe :

- Une matrice  $U_{p \times r} = [u_1 \dots u_r]$  orthonormée ( $U^T U = I_r$ )  
dont les colonnes sont les vecteurs propres de  $X^T X$  associés aux valeurs propres  $\lambda_1 \geq \lambda_2 \geq \dots \geq \lambda_r > 0$   
 $\Rightarrow$  Vecteurs principaux de l'espace des lignes
- Une matrice  $V_{n \times r} = [v_1 \dots v_r]$  orthonormée  
dont les colonnes sont les vecteurs propres de  $XX^T$  associés aux valeurs propres  $\lambda_1 \geq \lambda_2 \geq \dots \geq \lambda_r > 0$   
 $\Rightarrow$  Vecteurs principaux de l'espace des colonnes

**U et V matrices colonnes-orthonormales**

- Une matrice diagonale  $\Theta_{r \times r} = \Lambda^{1/2}$  contenant les  $r$  valeurs **singulières** de  $X$  tq  $X$  se décompose en :

$$X_{n \times p} = V_{n \times r} \Theta_{r \times r} (U_{p \times r})^T$$

21

## 1. Principe de l'ACP

### 2ème présentation : Généralisation de la DVS

- **Lemme :** La matrice  $X^T D X Q$  (resp.  $Q X Q^T D$ ) est Q-sym. (resp. D-sym), ses  $r$  valeurs propres  $> 0$  et ses vecteurs propres forment une base Q-orthonormée de  $\text{Im } X^T$  (resp. D-orthonormée de  $\text{Im } X$ ).

Dem: Durand pp. 102

**Remarque:** La construction effective des vecteurs propres  $\{u_i\}$  de  $X^T D X Q$  passe **d'abord** par:

- ✓ le calcul des vecteurs propres  $\{\tilde{u}_i\}$  de  $Q^{1/2} X^T D X Q^{1/2}$  ; puis
- ✓ le calcul de  $u_i = Q^{-1/2} \tilde{u}_i$  car  $\tilde{u}_i$  est alors orthonormé au sens usuel. (cf. après relation avec la DVS usuelle)

23

## 1. Principe de l'ACP

### 2ème présentation : Généralisation de la DVS

Dans la DVS, les matrices  $X^T X_{p \times p}$  et  $XX^T_{n \times n}$  symétriques jouent un rôle fondamental.

$\Rightarrow$  Dans la DVS de (X, Q, D), ce rôle va être attribué respectivement à :

$$X^T D X Q_{p \times p} = S Q = S_1 \text{ et } X Q X^T D_{n \times n} = W D$$

Matrices non symétriques SAUF:

- ✓ dans le cas où Q et D sont de la forme  $kI$  (DVS usuelle) et
- ✓ dans le cas de l'ACP usuelle.

$\Rightarrow$  Elles sont alors resp. Q et D-symétriques.

Le lemme suivant nous assure que les v.p. de telles matrices sont  $\geq 0$  et que les vecteurs propres sont orthogonaux au sens de la métrique concernée.

22

## 1. Principe de l'ACP

### 2ème présentation : Généralisation de la DVS

#### - **Théorème:** DVS de (X, Q, D)

- Soient les matrices réelles  $X_{n \times p}$  de rang  $r$  et les métriques  $Q_{p \times p}$  et  $D_{n \times n}$  de  $\mathcal{R}^p$  et de  $\mathcal{R}^n$ . Il existe :

- Une matrice  $U_{p \times r} = [u_1 \dots u_r]$  Q-orthonormée  
les colonnes  $u_i$  sont les vecteurs propres de  $X^T D X Q = S Q = S_1$  associés aux valeurs propres  $\lambda_1 \geq \lambda_2 \geq \dots \geq \lambda_r > 0$ .  
 $\Rightarrow$  Vecteurs principaux de l'espace des indiv.
- Une matrice  $V_{n \times r} = [v_1 \dots v_r]$  D-orthonormée  
les colonnes st les vecteurs propres de  $X Q X^T D = W D$  associés aux valeurs propres  $\lambda_1 \geq \lambda_2 \geq \dots \geq \lambda_r > 0$   
 $\Rightarrow$  Vecteurs principaux de l'espace des variables.
- Une matrice diagonale  $\Theta_{r \times r} = \Lambda^{1/2}$  contenant les  $r$  **valeurs singulières** du triplet (X, Q, D) tq  $X$  se décompose en :

$$X_{n \times p} = V_{n \times r} \Theta_{r \times r} (U_{p \times r})^T = \sum_{k=1}^r \sqrt{\lambda_k} v_k (u_k)^T$$

24

## 1. Principe de l'ACP

### 2ème présentation : Généralisation de la DVS

#### Remarques DVS :

- $[u_1 \dots u_r]$  vecteurs principaux de l'espace des individus ;  
 $\|u_k\|_Q = 1$  et si  $k \neq k'$  alors  $\langle u_k; u_{k'} \rangle_Q = 0$
- $[v_1 \dots v_r]$  vecteurs principaux de l'espace des variables ;  
 $\|v_k\|_D = 1$  et si  $k \neq k'$  alors  $\langle v_k; v_{k'} \rangle_D = 0$
- $\sqrt{\lambda_1} \geq \sqrt{\lambda_2} \geq \dots \geq \sqrt{\lambda_r} > 0$  valeurs singulières
- Cette décomposition **n'est pas unique** :  $\begin{matrix} u_k \rightarrow -u_k \\ v_k \rightarrow -v_k \end{matrix}$

Les représentations graphiques des projections des lignes ou des colonnes sont définies à une transformation orthogonale près du groupe engendré par les symétries hyperplans dont les hyperplans sont engendrés par tous les axes principaux excepté un.

25

## 1. Principe de l'ACP

### 2ème présentation : Généralisation de la DVS

**Formules de transition** exprimant  $U$  en fonction de  $V$  (resp.  $V$  en fonction de  $U$ )

$$\begin{matrix} U = X^T D & V & \Lambda^{-1/2} \\ p \times r & n \times n & n \times r \end{matrix} \quad \text{et} \quad \begin{matrix} V = X Q & U & \Lambda^{-1/2} \\ n \times r & p \times p & p \times r \end{matrix}$$

**Corollaire:** Décomposition des matrices  $S$  et  $W$

Comme  $S = X^T D X$  et  $W = X Q X^T$ , si  $(U, \Theta, V)$  une DVS de  $X_{n \times p}$ , on a :

$$S = U \Lambda U^T = \sum_{k=1}^r \lambda_k u_k (u_k)^T$$

et

$$W = V \Lambda V^T = \sum_{k=1}^r \lambda_k v_k (v_k)^T$$

27

## 1. Principe de l'ACP

### 2ème présentation : Généralisation de la DVS

#### Equations aux valeurs propres

#### Théorème

- Soit  $(U, \Theta, V)$  une DVS de  $X_{n \times p}$  sous la forme  $V_{n \times r} \Theta_{r \times r} (U_{p \times r})^T$  où l'espace des variables est muni de la métrique  $D$  et l'espace des individus de la métrique  $Q$  alors :

$$\underbrace{X^T D X}_{=S} Q U = U \underbrace{\Theta_{p \times p}^2}_{=\Lambda} \quad \text{et} \quad \underbrace{X Q X^T}_{=W} D V = V \underbrace{\Theta_{n \times n}^2}_{=\Lambda}$$

26

## 1. Principe de l'ACP

### 2ème présentation : Généralisation de la DVS

#### • Relation avec la DVS usuelle

- La DVS usuelle de  $X$  est la DVS du triplet  $(X, Q = I_p, D = I_n)$
- DVS du triplet  $(X, Q, D) \Leftrightarrow$  DVS  $(Z = D^{1/2} X Q^{1/2}, Q = I_p, D = I_n)$

au sens où elles ont les mêmes valeurs singulières  $\theta$ .

$\Rightarrow$  Si  $Z = V_Z \Lambda_r^{1/2} (U_Z)^T$  et  $X = V_X \Lambda_r^{1/2} (U_X)^T$  sont les 2 décompositions,

**ALORS**

$$V_X = D^{-1/2} V_Z \quad \text{et} \quad U_X = Q^{-1/2} U_Z$$

28



## 1. Principe de l'ACP

### 2ème présentation : Généralisation de la DVS

- **Norme de Fröbenius** (ou d'Hilbert-Schmidt) : rappel

Proposition : soient  $D$  et  $Q$  deux métriques des espaces  $\mathcal{M}^n$  et  $\mathcal{M}^p$  alors

$$\langle ; \rangle_{Q \otimes D} : \begin{cases} \mathcal{M}^{n \times p} \rightarrow \mathbb{R} \\ (X; Y) \mapsto \text{tr}(XQY^T D) \end{cases}$$

est un produit scalaire sur l'espace vectoriel des matrices  $\mathcal{M}^{n \times p}$ . La norme induite est appelée **norme de Fröbenius** ou de **Hilbert-Schmidt**.

29

## 1. Principe de l'ACP

### 2ème présentation : Généralisation de la DVS

- **Rappel : Approximation d'une matrice**

Soit  $X$  de rang  $r$ , on veut construire une matrice  $\hat{X}^{(k)}$  de rang  $k < r$  la plus proche de  $X$  :

$\hookrightarrow$  il suffit de **supprimer les valeurs singulières d'ordre  $> k$  dans la DVS de  $X$**  donnée par  $X = V_{n \times r} \Theta_{r \times r} (U_{p \times r})^T$ , on a alors :

$$\hat{X}^{(k)} = \sum_{i=1}^k \sqrt{\lambda_i} v_i (u_i)^T$$

31

## 1. Principe de l'ACP

### 2ème présentation : Généralisation de la DVS

- **Rappel : Théorème d'approximation d'Eckart-Young**

- Théorème d'approximation d'Eckart-Young

Soient  $X \in \mathcal{M}_{n \times p}$  de rang  $r$ ,  $X = V \Lambda^{1/2} U^T$  la DVS de  $(X, Q, D)$  et  $k$  un entier  $\leq r$ . On note :

$U^{(k)} = [U_1 \dots U_k] \in \mathcal{M}_{p \times k}$  et  $V^{(k)} = [V_1 \dots V_k] \in \mathcal{M}_{n \times k}$  les matrices extraites de  $U$  et  $V$  et  $(\Lambda^{(k)})^{1/2} = \text{diag}(\lambda_1^{1/2}, \lambda_2^{1/2}, \dots, \lambda_k^{1/2})$  la diagonale des  $k$  premières valeurs propres singulières.

On recherche dans l'E.V.  $E_k$  des matrices  $n \times p$ , la matrice de rang  $k \leq \text{rg}(X) = r$ , la plus proche de  $X$  au sens de la norme  $\|\cdot\|_{Q \otimes D}$  :

$$\min_{E_k} \|X - X^{(k)}\|_{Q \otimes D}^2 = \|X - Z^{(k)}\|_{Q \otimes D}^2 = \sum_{i=k+1}^r \lambda_i$$

L'optimum est atteint par la DVS incomplète de rang  $k$  :

$$Z^{(k)} = V^{(k)} (\Lambda^{(k)})^{1/2} (U^{(k)})^T.$$

30

## 1. Principe de l'ACP

### 2ème présentation : Généralisation de la DVS

- **ACP du triplet  $(X, Q, D)$**

**Usuellement** : ACP = étude du triplet  $(X_c, I_p, \frac{1}{n} I_n)$ .

Le fait d'envisager des métriques plus générales introduit une distorsion dans la représentation des distances (AFC distance du Chi-deux).

$\Rightarrow$  Les **plans factoriels** de projection sont ceux formés par les couples de vecteurs des bases orthonormée de la DVS du triplet :

- $(u_i, u_j)$  pour voir les points lignes (obs.) et
- $(v_i, v_j)$  pour voir les points colonnes (variables).

$\Rightarrow$  Quels sont les **meilleurs  $k$  plans factoriels** i.e. ceux pour qui les photos sont porteuses d'information ?

32



## 1. Principe de l'ACP

### 2ème présentation : Généralisation de la DVS

#### Définition :

- $X = (I_n - \mathbf{1}_n \mathbf{1}_n' D) T$  matrice  $D$  centrée en colonne
- $S = X' D X$  matrice des covariances entre variables
- $W = X Q X'$  matrice des produits scalaires entre indiv
- A ces matrices sont associées les opérateurs aux valeurs propres-vecteurs propres de la DVS du triplet Opérateurs en dualité et inertie du triplet  $(X, Q, D)$
- Opérateur des covariances :  $SQ = X' D X Q$
- Opérateur des prod. scal. entre indiv. :  $WD = X Q X' D$
- Inertie totale du triplet :  $\|X\|_{Q \otimes D}^2 = \text{tr}(X Q X' D) = \text{tr}(X' D X Q)$

**Théorème :** Soit  $X_{n \times p} = V_{n \times r} \Theta_{r \times r} (U_{p \times r})^T$  une DVS de  $X = X_C$

**ALORS**  $\|X\|_{Q \otimes D}^2$  correspond à  $I_g$  i.e. l'inertie de la matrice  $X$  s'écrit :

$$I_g = \|X\|_{Q \otimes D}^2 = \langle X; X \rangle_{Q \otimes D} = \text{tr}(X Q X' D) \\ = \text{tr}(X' D X Q) = \text{tr}(S_I) = \sum_{k=1}^r \lambda_k$$

33

## 1. Principe de l'ACP

### 2ème présentation : Généralisation de la DVS

#### Principe fondamentale de l'analyse factorielle

Si on admet que le meilleur « cliché » uni-dimensionnel est fourni par un axe sur lequel, en projection le nuage des points lignes est **d'inertie maximale**

ALORS

l'axe factoriel  $u_1$  est le meilleur axe ensuite  $u_2$  est le meilleur second orthog. Au 1<sup>er</sup> ....

#### Sous R, 1ere ou 2eme présentation : ex

- 1<sup>ere</sup> présentation (décomposition spectrale) : les fonctions **PC** (avec option « eigen ») et **princomp**
- 2<sup>eme</sup> présentation (DVS) : les fonctions **PC** (avec option svd), **prcomp**, **PCA**, **pca**

35

## 1. Principe de l'ACP

### 2ème présentation : Généralisation de la DVS

#### Définition : ACP d'ordre $k$ du triplet $(X, Q, D)$

La matrice  $k$  étant supposé de rang  $r$  et  $D$ -centrée. On appelle ACP d'ordre  $k$ ,  $k \leq r$  du triplet  $(X, Q, D)$  la DVS incomplète de rang  $k$

$$\hat{X}^{(k)} = V^{(k)} \left( \Lambda^{(k)} \right)^{1/2} \left( U^{(k)} \right)'$$

tq def. dans le théo d'Eckart-Young.

Les 2 formules de transition s'écrivent à l'ordre  $k$ :

$$V^{(k)} = X Q U^{(k)} \left( \Lambda^{(k)} \right)^{-1/2} \text{ et } U^{(k)} = X' D V^{(k)} \left( \Lambda^{(k)} \right)^{-1/2}$$

34

## 2. Eléments principaux de l'ACP

- **Axes principaux**  $a_k$ ;  $k = 1, \dots, r$

On appelle **axes principaux d'inertie** les vecteurs propres  $a_k$  de  $SQ = S_I$ ,  $Q$ -normés à 1 ; ils sont au nombre de  $r \leq p$  si  $p < n$ .

**Propriété :** L'inertie expliquée par un axe  $a_k$  est égale à la valeur propre  $\lambda_k$  associée à cet axe principal

- **Facteurs principaux**  $u_k$ ;  $k = 1, \dots, r$

Le facteur principal  $u_k$  associé à l'axe principal  $a_k$  est la fonction linéaire sur  $\mathfrak{R}^p$  définie par la relation :  $u_k = Q a_k$ .

En anglais : les valeurs des composantes des vecteurs  $u$  sont les **loadings**.

#### Propriétés:

1.  $Q S u_k = \lambda_k u_k$
2. Les  $u_k$  sont les vecteurs propres  $Q^{-1}$ -normés de  $Q S$  ; on a :  $\forall k = 1, \dots, r, ; u_k^T Q^{-1} u_k = 1$

36

## 2. Éléments principaux de l'ACP

- **Composantes principales (CP)**  $F^k \in \mathbb{R}^n; k = 1, \dots, r \leq \min(n, p)$   
ie Coord. des individus

**Définition :** Les CP sont les variables  $F^k$  elts de  $\mathbb{R}^n$  définies par les facteurs principaux par la relation :

$$F^k = X u_k$$

$F^k$  contient les coordonnées des projections D-orthogonales des observations sur l'axe de rang  $k$  défini par  $a_k$ .

En anglais : les coordonnées des observations sur les composantes principales sont les **scores**.

### Propriétés :

1.  $\text{var}(F^k) = \lambda_k = \|F^k\|_D^2$

Les  $F^k$  sont les combinaisons linéaires de  $x^1, \dots, x^p$  de variance maximale sous la contrainte :  $u_k^T Q^{-1} u_k = 1$ .

2. On a :  $W D F^k = \lambda_k F^k$  où  $W = X Q X^T$  est la matrice de t.g. le produit scalaire entre individus.

Les composantes principales  $F^k$  sont D-orthog. (i.e. sont non corrélées entre elles).

Remarque :  $F^k / \sqrt{\lambda_k}$  est appelée **CP normée**

37

## 2. Éléments principaux de l'ACP

- **Résumé des propriétés des éléments principaux**

Pour  $k = 1, \dots, r$ , on a :

Elts principaux	Définition	Propriété	Relation
$a_k$ : axes principaux $\in \mathbb{R}^p$	$S Q a_k = \lambda_k a_k$	Q-orthonormés	
$u_k$ : facteurs principaux $\in \mathbb{R}^{p*}$	$Q S u_k = \lambda_k u_k$	$Q^{-1}$ -orthonormés	$u_k = Q a_k$
$F^k$ : CP $\in \mathbb{R}^n$ coord des ind sur l'axe $k$	$W D F^k = \lambda_k F^k$	D-orthogonales D-normées à $\lambda_k$	$F^k = X u_k$
$G^k \in \mathbb{R}^p$ Coord des var sur l'axe $k \in \mathbb{R}^p$		Q-orthogonales Q-normées à $\lambda_k$	$G^k = \sqrt{\lambda_k} a_k$ et $G^{k(j)} = \ x^j\ _D \text{cor}(F^k, x^j)$

Voir résumé 2 pages

39

## 2. Éléments principaux de l'ACP

- **Coord. des variables**  $G^k \in \mathbb{R}^p; k = 1, \dots, r \leq \min(n, p)$ 
  - contient les coord. des projections Q-orthogonales des obs. sur l'axe  $k$
  - $G^k = \sqrt{\lambda_k} a_k$ ;  $\|G^k\|_Q^2 = \lambda_k$  et  $\text{cor}(F^k, x^j) = \frac{G^{k(j)}}{\|x^j\|_D}$

- **Relations de transition** (sous entendu d'un espace à l'autre)

$$F^k(i) = \frac{1}{\sqrt{\lambda_k}} \sum_{j=1}^p x_i^j G^k(j) \text{ coordonnée de l'individu } i \text{ sur l'axe de rang } k;$$

$$G^k(j) = \frac{1}{\sqrt{\lambda_k}} \sum_{i=1}^n x_i^j F^k(i) \text{ coordonnée de la variable } j \text{ sur l'axe de rang } k$$

- **Formule de reconstitution**

A partir des facteurs principaux et des composantes principales, il est possible de reconstituer le tableau X initial (cf. DVS avant) :

$$X = \sum_{k=1}^r F^k (u_k)^T Q^{-1} = \sum_{k=1}^r \sqrt{\lambda_k} v_k (u_k)^T$$

38

## 2. Éléments principaux de l'ACP

- **Remarques**

- Le sens d'un axe est arbitraire, les résultats se retrouvent par symétrie
- En présence de valeurs propres multiples, la DVS n'est plus unique. En pratique, ce cas n'arrive jamais !

- **Exemples complets : à faire !**

ACP de  $(X_0, I_3, (1/4)I_4)$  feuille Td-TP ch 2 page 5

où

$$X = \begin{bmatrix} -2 & 3 & -1 \\ -1 & 1 & 0 \\ 2 & -1 & -1 \\ 1 & -3 & 2 \end{bmatrix}$$

et ACP feuille Td-TP page 8

40

## 2. Éléments principaux de l'ACP

- **L'ACP Normée** : Travailler avec

$Q = \text{diag}(S)^{-1}$  sur le tableau centré  $X_c$

$\Leftrightarrow$

$Q = I_p$  sur le tableau centré réduit  $X_{CR}$

C'est l'ACP sur les **données centrées réduites**, appelée **ACP<sub>N</sub>**.

Dans ce cas,  $S_I = SQ = R$ , c'est la matrice des corrélations entre variables.

La diagonalisation de R fournira facteurs principaux  $u = a$  et CP  $F = X_{CR}a$ .

**Propriété**:  $F^1$ , la 1<sup>ère</sup> CP est celle qui possède la **variance maximale**  $\lambda_1$ . Elle se définit par  $F^1 = X_{CR}u_1$  et est tq :

$$\sum_{j=1}^p r^2(F^1; x^j) \text{ est maximale.}$$

41

## 2. Éléments principaux de l'ACP

- **Remarque** : Transformation des données

- Exemple : âge de l'exploitant, revenu et surface relevés sur 3 exploitations agricoles.
- Rappel : recherche des axes -> maximisation de l'inertie ou conservation des distances entre points.

	Age	Revenu	Surface
1	30	290 000	20
2	50	300 000	30
3	52	320 000	28

→ Exploitant jeune + faible surface

Se ressemblent : structure + âge de l'exploitant

43

## 2. Éléments principaux de l'ACP

- **Remarque** : Transformation des données

Processus de standardisation des données

- **Centrage** : on retire la moyenne  
 $x_{ik} - \bar{x}_k$
- **Réduction** : on divise par l'écart-type  
 $(x_{ik} - \bar{x}_k) / S_k$

- Les variables sont par défaut centrées et généralement, elles sont aussi réduites (choix possible dans les logiciels).



Si le centrage est neutre pour l'analyse, la réduction ne l'est pas !

- **Avantage** = permettre une comparaison entre variables mesurées dans des unités très différentes.
- **Inconvénient** = donne une importance identique à chaque variable.

- Selon la problématique de l'analyse, ce peut être un bien ou un mal. En effet, si toutes les variables sont mesurées dans la même unité, il peut être préférable de conserver leurs variances respectives. On parle alors d'ACP non normée.

42

## 2. Éléments principaux de l'ACP

- **Remarque** : Transformation des données

- Distance utilisée : distance euclidienne

d	1	2	3
1	0	10 000	30 000
2	10 000	0	20 000
3	30 000	20 000	0

Exemple :  $d(1;2) = \sqrt{(50-30)^2 + (290000-300000)^2 + (20-30)^2}$

- **Exploitation 2 apparaît plus proche de 1 que de 3** : importance écrasante prise par la variable revenu -> Une variation de 10% du revenu n'a pas la même incidence qu'une variation équivalente des deux autres variables.

44

## 2. Éléments principaux de l'ACP

### • Remarque : Transformation des données

- Changement d'échelle : revenu non plus en francs mais en dizaine de milliers de francs.

	Age	Revenu	Surface
1	30	29	20
2	50	30	30
3	52	32	28

→

d	1	2	3
1	0	22.4	23.6
2	22.4	0	3.46
3	23.6	3.46	0

Exemple 22.4 entre exp.1 et exp. 2 :  $d = \sqrt{(30-50)^2 + (29-30)^2 + (20-30)^2}$

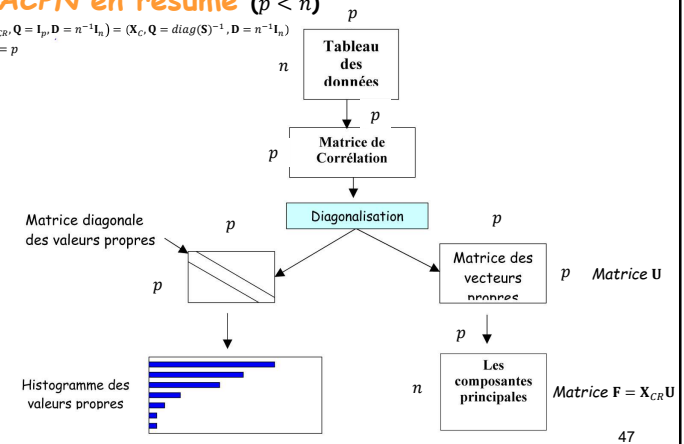
- Désormais 2 apparaît plus proche de 3 que de 1.
- Double inconvénient :
  - Hétérogénéité des variables.
  - Choix arbitraire de l'échelle de mesure.

45

## 2. Éléments principaux de l'ACP

### • ACPN en résumé ( $p < n$ )

- $(X_{CR}, Q = I_p, D = n^{-1}I_n) = (X_C, Q = \text{diag}(S)^{-1}, D = n^{-1}I_n)$
- $I_p = p$



47

## 2. Éléments principaux de l'ACP

### • Remarque : Transformation des données

- Pour y remédier : Données centrées réduites.  
⇒ Cette transformation accorde un poids identique aux variables dans le calcul des distances.
- Age : moyenne = 44 ; écart-type = 9,9  
Revenu : moyenne = 303 333 ; écart-type = 12 472,2  
Surface : moyenne = 26 ; écart-type = 4,3

Données centrées réduites

Distances

	Age	Revenu	Surface
1	-1,4	-1	-1,4
2	0,6	0	0,9
3	0,8	1	0,5

d	1	2	3
1	0	3,2	3,5
2	3,2	0	1,1
3	3,5	1,1	0

31 46

## 3. Interprétation et qualité des résultats d'une ACP

### Construction des nuages de points projetés

- Chaque nuage de points (variables et individus) est construit en projection sur les **plans factoriels** : un plan factoriel est un repère du plan défini par deux des  $r$  axes factoriels retenus.
  - Si l'on retient 3 axes, on tracera 3 graphiques pour chaque nuage : le nuage projeté sur le plan (axe1, axe2), celui projeté sur le plan (axe1, axe3) et celui projeté sur le plan (axe2, axe3).
  - **Projection des individus** dans différents plans factoriels : Graphe de  $(F^k; F^{k'})$  : plan principal  $k - k'$
- L'examen des plans factoriels permettra de visualiser :
  - les corrélations entre les variables et
  - d'identifier les groupes d'individus ayant pris des valeurs proches sur certaines variables.

**Mais avant de lire directement les graphiques : il faut interpréter les axes et s'assurer que la projection est fidèle à la réalité !**

48

### 3. Interprétation et qualité des résultats d'une ACP

#### Indicateurs numériques

#### • Pourcentage d'inertie associé à un axe

- **Rapport de l'inertie** projetée associée à l'axe  $k$  à l'inertie totale

$$\frac{\lambda_k}{\sum_{\alpha=1}^r \lambda_{\alpha}}$$

- Si ACPN :  $\sum_{\alpha=1}^r \lambda_{\alpha} = p$  ;
- multiplié par 100, on obtient le **% d'inertie exprimé par l'axe  $k$**  ;

**Interprétation :**

- ✓ Mesure de la qualité de représentation des données ;
- ✓ Mesure de l'importance relative de chaque axe.

#### ▪ Inertie cumulée

Les axes étant orthogonaux, les % d'inertie s'additionnent pour plusieurs axes

$$\frac{\lambda_1 + \dots + \lambda_k}{\sum_{\alpha=1}^r \lambda_{\alpha}}$$

**Interprétation :**

- ✓ Mesure de la qualité de représentation des données dans un espace de dim  $k$ .

49

### 3. Interprétation et qualité des résultats d'une ACP

#### Interprétation « interne » : individus

#### • Interprétation de la position des individus :

- **Contribution de l'individu  $i$  à l'axe  $k$**  :

aussi appelée **contribution absolue** ( $ctr$ )

- mesurée par la part d'inertie expliquée par l'individu  $i$  sur l'axe  $k$

$$ctr_k(i) = \frac{p_i (F^k(i))^2}{\lambda_k}$$

↪ Somme des contributions des individus  $= \sum_{i=1}^n ctr_k(i) = 100\%$

- permet d'identifier les individus les + influents pour un axe donné i.e. qui contribuent bcp à la construction d'un axe factoriel.

- **En pratique :** On retient pour l'interprétation les individus dont la contribution est  $>$  à la contribution moyenne ( $>1/n$ ), le sens de la contribution dépend du signe de  $F^k(i)$ .

51

### 3. Interprétation et qualité des résultats d'une ACP

#### Interprétation « interne » : individus

#### • Interprétation de la position des individus :

- **Qualité de la représentation d'un individu  $i$  sur l'axe  $k$**  aussi appelée **contribution relative** ( $qlt$ )

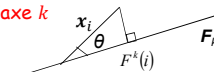
$$qlt_k(i) = \cos^2(\theta_i^k) = \frac{(F^k(i))^2}{\|x_i\|^2} ; \text{ où } \|x_i\|^2 = \sum_{\alpha=1}^r (F^{\alpha}(i))^2$$

avec  $\sum_{\alpha=1}^r qlt_{\alpha}(i) = 1$

distance entre le pt dans l'espace et sa projection sur l'axe (resp. le plan principal considéré) ; mesurée grâce au cosinus (au carré) de l'angle entre l'axe (resp. le plan principal) et le point  $x_i \in \mathbb{R}^p$ . (cf. ch1)

- ✓ Lorsque l'angle est proche de 0, c'est-à-dire que le cosinus est proche de 1, l'individu est bien représenté. Dans le cas inverse, l'angle est proche de  $90^\circ$  et le cosinus est proche de 0.
- ✓ Mise en évidence des individus mal représentés.
- ✓ Dans le plan principal  $k - k'$  :  $qlt_{k,k'}(i) = qlt_k(i) + qlt_{k'}(i)$

50



### 3. Interprétation et qualité des résultats

#### Interprétation « interne » : variables

#### • Coordonnées des variables sur les axes :

- $G^k(j) = \frac{1}{\sqrt{\lambda_k}} \sum_{i=1}^n x_i^j F^k(i) = \sqrt{\lambda_k} a_k(j)$  coordonnée de la variable  $j$  sur l'axe de rang  $k$

On va chercher à représenter au mieux les corrélations entre les variables pour interpréter les axes :

#### • Corrélations entre CP et variables initiales

On a la relation suivante :

$$r(F^k; x^j) = \left[ \frac{\lambda_k}{s_{kk}} \right]^{1/2} a_k(j) = \frac{G^k(j)}{\|x^j\|_D}$$

où  $a_k(j)$  est la  $j^{\text{ème}}$  composante de l'axe principal  $a_k$ .

- Si toutes les variables initiales sont centrées réduites :

$$r(F^k; x^j) = \sqrt{\lambda_k} a_k(j) = G^k(j)$$

- Pour un couple de CP  $F^1$  et  $F^2$ , on représente ces corrélations linéaires sur une figure appelée **cercle des corrélations**.

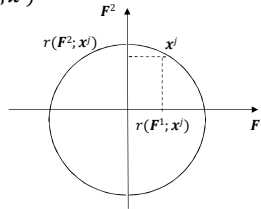
52

### 3. Interprétation et qualité des résultats

#### Interprétation « interne » : variables

##### • Cercle des corrélations

- Chaque variable  $x^j$  est repérée par un pt d'abscisse  $r(F^1, x^j)$  et d'ordonnée  $r(F^2, x^j)$



En ACP normée :  $\sum_{k=1}^r r^2(F^k, x^j) = \sum_{k=1}^r (G^k(j))^2 = 1$  ;  $j$  fixé.

↳ Les variables qui sont proches du bord du cercle sont celles qui contribuent le plus !

53

### 3. Interprétation et qualité des résultats

#### Interprétation « interne » : variables

##### • Interprétation de la position des variables

##### ▪ Contribution de la variable $j$ à l'axe $k$ :

aussi appelée **contribution absolue** (*ctr*)

➤ mesurée par la part d'inertie expliquée par la variable  $j$  sur l'axe  $k$

$$ctr_k(j) = \frac{(G^k(j))^2 / s_{jj}}{\lambda_k} \text{ pour } Q = \text{diag}(S)^{-1} \text{ et } ctr_k(j) = \frac{(G^k(j))^2}{\lambda_k} \text{ si } Q = I_p$$

avec  $\sum_{j=1}^p ctr_k(j) = 100\%$  pour  $k$  fixé.

➤ permet d'identifier les variables les + influentes pour un axe donné i.e. qui contribuent bcp à la construction d'un axe factoriel.

➤ En pratique: On retient pour l'interprétation les variables dont la contribution est > à la contribution moyenne (>1/p), le sens de la contribution dépend du signe de  $G^k(j)$ .

55

### 3. Interprétation et qualité des résultats

#### Interprétation « interne » : variables

##### • Interprétation de la position des variables

- Qualité de la représentation de la variable  $x^j$  sur l'axe  $k$**   
aussi appelée **contribution relative** (*qlt*)

$$qlt_k(j) = \cos^2(\theta_j^k) = \frac{(G^k(j))^2}{\|x^j\|^2} \text{ où } \|x^j\|^2 = \sum_{\alpha=1}^r (G^\alpha(j))^2 \text{ avec } \sum_{\alpha=1}^r qlt_\alpha(j) = 1$$

➤ Distance entre le point  $x^j$  dans l'espace et sa projection sur l'axe (resp. dans le plan principal  $k - k'$  :  $qlt_{k,k'}(j) = qlt_k(j) + qlt_{k'}(j)$ ).

⇒ Mise en évidence des variables mal représentées.

➤ En ACP normée,  $qlt_k(j) = r(F^k, x^j)^2$  :

- une variable est d'autant mieux représentée sur un axe qu'elle est proche du bord du cercle des corrélations et de l'axe, d'autant plus mal représentée qu'elle est proche de l'origine.
- Les variables qui contribuent le plus à l'axe sont aussi celles qui sont le mieux représentées et inversement, donc pas besoin d'étude spécifique de la représentativité.

54

### 3. Interprétation et qualité des résultats

#### Interprétation « externe » : variables et individus supplémentaires

On distingue les élt **actifs** des élt **supplémentaires** ou **illustratifs**

##### Définition :

- Éléments actifs** : variables (ou indiv) contribuant à la construction des axes factoriels contrairement aux
- Éléments supplémentaires** : variables (ou indiv) ne participant pas à la construction des axes ; mais représentées sur les plans principaux.

##### • Indiv. supp. : $F_s^\alpha = (X^s)^T u^\alpha$

- On peut avoir 2 jeux de données et vouloir étudier l'évolution ou la ≠
- Certains indiv. sont aberrants ou atypiques ou de nature ≠
- Certains individus sont artificiels : individu moyen

##### • Variables supp : calcul des proj. sur le cercle des corrélations avec les corrélations $r(x^v, F^k)$

- Variables que l'on veut lier aux variables actives mais pas lier entre elles
- Variables que l'on veut expliquer par les variables actives
- Variables que l'on veut utiliser pour conforter l'interprétation des axes sans faire appel à des variables ayant servi à les déterminer

56

### 3. Interprétation et qualité des résultats

- **Transformation des données**
  - Si données sont hétérogènes, avec ordres de grandeur différents, diagonaliser la matrice des corrélations  $R$ 
    - sinon, diagonaliser la matrice des covariances  $S$
- **Nombre d'axes à retenir** : Pas de règles entièrement satisfaisantes
  - **Qualité globale du nuage** : Calculer les valeurs cumulées successives  $\lambda_1/\sum \lambda_\alpha, (\lambda_1 + \lambda_2)/\sum \lambda_\alpha, \dots$  pour voir quelle proportion de la somme des variances  $\sum \lambda_\alpha$  (i.e. quelle part de l'inertie totale) est restituée par les  $k$  premiers axes principaux
    - plus les variables sont nombreuses et moins elles sont corrélées, plus est faible la part d'inertie restituée par les  $k$  premiers axes
  - **Critère de Kaiser** : avec la matrice des corrélations (ie sur des données centrées réduites), conserver les axes correspondant aux valeurs propres  $> 1$
  - **Règle du coude** : le diagramme des valeurs propres  $\lambda_\alpha$  montre souvent des cassures dans la baisse des  $\lambda_\alpha$  : on retient les axes avant la cassure
  - **Interprétation** : conserver les axes « interprétables »

57

### 3. Interprétation et qualité des résultats

#### Etapes d'une analyse

- **3ème étape : Individus**
  - **Qualité de la représentation**
    - Cosinus carrés  $q_l$
    - Proximités des axes  $ctr$
  - **Répartition des individus**
    - Identifier les individus « extrêmes »
- ⇒ Identifier la présence ou non de groupes
- **4ème étape : Interprétation conjointe**
  - ⇒ Identifier des liens variables - individus

59

### 3. Interprétation et qualité des résultats

#### Etapes d'une analyse

- **1ère étape : Valeurs propres**
  - (% de variation expliquée par chaque composante principale)
- ⇒ Déterminer le nombre d'axes à retenir
- **2ème étape : Variables**
  - **Qualité de la représentation**
    - Cosinus carrés
    - Proximités du cercle de corrélation
  - **Structure des variables**
    - Corrélations entre variables
    - Corrélations avec les axes
- ⇒ Interpréter les axes

58

### 3. Interprétation et qualité des résultats

#### Interpréter une analyse

- **Biplot** introduit par Gabriel (1971) : Cf Gower (1996) et Legendre (1998)
  - **Représentation simultanée** à la fois des observations et des variables.
  - Terme réservé aux représentations simultanées qui respectent le fait que la projection des observations sur les vecteurs variables doit être représentative des données d'entrée pour ces mêmes variables.
    - i.e. les points projetés sur le vecteur variable, doivent respecter l'ordre et les distances relatives des données de départ correspondant à la même variable.
  - La représentation simultanée des observations et des variables :
    - ne peut être faite directement en prenant les coordonnées des variables et des observations dans l'espace des facteurs.
    - Une transformation est nécessaire afin de rendre l'interprétation exacte.
- **3 méthodes** sont proposées

60



### 3. Interprétation et qualité des résultats

#### Interpréter une analyse : Biplot

3 méthodes sont proposées en fonction du type d'interprétation que l'on souhaite faire à partir de la représentation graphique :

- **biplot de corrélation** (correlation biplot) : permet d'interpréter les angles entre les variables car directement liés aux corrélations entre les variables. La position de deux obs projetées sur un vecteur variable permet de conclure quant à leur niveau relatif sur cette même variable. La distance entre deux observations est une approximation de la distance de Mahalanobis dans l'espace des  $k$  facteurs..
- **biplot de distance** (distance biplot) : permet d'interpréter les distances entre les observations car elles sont une approximation de leur distance euclidienne dans l'espace des  $p$  variables. La position de deux observations projetées sur un vecteur variable permet de conclure quant à leur niveau relatif sur cette même variable.
- **biplot symétrique** (symmetric biplot) : proposé par Jobson (1992), intermédiaire entre les 2 précédents. Si ni les angles, ni les distances ne peuvent être interprétés, bon compromis.

Sous R : `biplot(stats)`

61

### 3. Interprétation et qualité des résultats

#### Interpréter une analyse : Effet « taille »

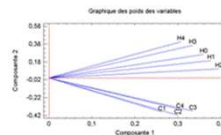
- Que faire pour l'éviter ? si son élimination est nécessaire ...
  - soit en délaissant le premier axe factoriel (solution de facilité)
  - soit en utilisant un autre type d'ACP, notamment
    - Varimax (Rotation des axes : solution de difficulté, mais les conclusions seront plus sûres) ou
    - une ACP sur les rangs,
  - soit en retraitant les données. Une idée possible est par ex. de se servir des pourcentages.

63

### 3. Interprétation et qualité des résultats

#### Interpréter une analyse : Effet « taille »

- Si l'ACP sur les données restitue un surprenant cercle des corrélations où tous les points sont regroupés du même côté d'un axe factoriel et sont caractérisés par des valeurs élevées. Vous avez constaté un **facteur taille** ou **effet taille**.



- Que signifie ceci ? Que toutes les variables sont corrélées positivement entre elles et avec le 1<sup>er</sup> axe. La 1<sup>ère</sup> composante est la variable latente qui prédit au mieux les autres, c'est aussi celle qui est le mieux prédit par toutes les autres.
- Peut-être jugé comme « polluant » l'ACP.

62

### 4. Tableau de distances (PCoA)

Dans certaines applications, on ne connaît pas les valeurs prises par les variables.

*On ne connaît seult que les distances entre les individus. Les données de base sont un tableau de distances  $D_{n \times n}$  entre les  $n$  individus du tableau  $X_{n \times p}$ .*

- Cas classique : Analyse d'un tableau de distances euclidiennes  
⇒ **analyse en coordonnées principales** (ou **principal coordinate analysis**) notée **PCoA** (Principal coordinate analysis)

Ex. : étude de marché

On recueille auprès de consommateurs des données de proximités subjectives entre différentes marques concurrentes.

- D'une manière plus générale : **positionnement multidimensionnel** noté **MDS** (Multidimensional Scaling)  
Pb : représenter graphiquement ses proximités

64

## 4. Tableau de distances

• L'ACP permet de cartographier un ensemble d'indiv. en essayant de déformer le moins possible leurs distances respectives.

• On a vu que les CP  $F = XU$  sont les vecteurs propres de la matrice  $XQX^T D = WD$ :

Les facteurs principaux  $u$  sont les vecteurs propres de  $QS = QX^T D X$  d'où  $QX^T D X u = \lambda u$  d'où en multipliant à gauche par  $X$ ,  $XQX^T D F = \lambda F$

• La matrice  $XQX^T D$  peut se calculer en connaissant uniq<sup>t</sup> les **distances entre individus**. On pourra alors :

- représenter les individus sur un plan ou un espace de dim  $q$  : calcul des vecteurs propres ;
- mesurer la qualité : calcul du % d'inertie expliquée.

65

## 4. Tableau de distances

### • Cas euclidien

➤ Passage de l'une à l'autre, en posant :

$$d_{i.}^2 = \frac{1}{n} \sum_{j=1}^n d_{ij}^2 ; d_{.j}^2 = \frac{1}{n} \sum_{i=1}^n d_{ij}^2 ; d_{..}^2 = \frac{1}{n} \sum_{i=1}^n d_{i.}^2 = \frac{1}{n} \sum_{j=1}^n d_{.j}^2 = 2I_g$$

➤ On déduit la formule de Torgerson (1958) :

$$w_{ij} = \frac{1}{2} (d_{ij}^2 - d_{i.}^2 - d_{.j}^2 + d_{..}^2)$$

$W$  est doublement centrée en lignes et en colonnes.

On peut mq :

La matrice des distances  $D$  est **euclidienne**

⇔ les valeurs propres de  $W$  sont positives ou nulles.

- L'application de l'ACP à ce type de données porte le nom **d'analyse factorielle d'un tableau de distances** ou **Analyse en Coordonnées Principales**.

67

## 4. Tableau de distances

### • Cas euclidien

- La **matrice du carré des distances** entre les pts est :

$$D = [d_{ij}^2 = (x_i - x_j)^T (x_i - x_j)]$$

➤ Elle est symétrique et sa diagonale est nulle

- La matrice  $XQX^T = W$  est la **matrice des produits scalaires** entre les vecteurs observations

$$W = [w_{ij} = \langle x_i, x_j \rangle_Q]$$

et  $w_{ii} = \|x_i\|_Q^2$

- En appliquant la relation triangulaire :

$$d_{ij}^2 = \|x_i\|_Q^2 + \|x_j\|_Q^2 - 2w_{ij}$$

66

## 4. Tableau de distances

### • Cas euclidien

#### ▪ Matriciellement

Opérateur de centrage :  $A_{n \times n} = I_n - \mathbf{1}_n \mathbf{1}_n^T / n$

Double centrage en lignes et en colonnes, obtention de  $W$  à partir de  $D$  :

$$W = -\frac{1}{2} ADA$$

- les vecteurs propres de  $W$  sont les composantes principales  $F$  des  $n$  points,
- le nb de valeurs propres non nulles donne la dimension de l'espace (au plus égale à  $n - 1$ ) ; c'est la dimension de l'espace de représentation,
- si la distance est euclidienne, aucune valeur propre n'est négative.

Sous R : [dudi.pco\(ade4\)](#)

68

## 4. Tableau de distances

- La procédure précédente n'est valable que si la distance  $d^2$  est **euclidienne** ; or, on peut avoir d'autres types de distances.

- Peut-on faire la même analyse ?  
Pas tout à fait ...

⇒ on appelle les techniques de ce type le  
**positionnement multidimensionnel (MDS)**

69

## 4. Tableau de distances

- Si  $d$  n'est pas euclidienne

- La méthode de la constante additive

- Les vecteurs propres de  $W_\delta = W + W_c$  sont les mêmes que ceux de  $W$  car ils sont centrés.

- Leurs valeurs propres sont augmentées de  $c^2/2$

- Il suffit alors de prendre comme constante :

$$c^2 = 2|\lambda_{\min}|$$

où  $\lambda_{\min}$  est la plus petite des valeurs propres négatives de  $W$

- Transforme directement une dissimilarité (pas d'inégalité triangulaire) en une distance euclidienne !

⇒ il ne faut pas que la constante ajoutée soit trop grande

Sous R : `cmdscale(stats)` ou `caillez(ade4)`

71

## 4. Tableau de distances

- Si  $d$  n'est pas euclidienne

certaines des valeurs propres de  $W$  sont **négatives**

- Méthode de la constante additive : en ajoutant  $c^2$  à tous les carrés de distance, on peut la rendre euclidienne

$$\delta_{ij}^2 = d_{ij}^2 + c^2 \quad \text{et} \quad \delta_{ii} = 0$$

$$W_\delta = W_d + W_c$$

$$W_c = -\frac{1}{2} A \begin{pmatrix} 0 & c^2 & c^2 & c^2 \\ c^2 & 0 & c^2 & c^2 \\ c^2 & c^2 & 0 & c^2 \\ c^2 & c^2 & c^2 & 0 \end{pmatrix} A = -\frac{c^2}{2} A (11' - I) A$$

puisque  $11' = n(I - A)$

$$W_c = -\frac{c^2}{2} A ((n-1)I - nA) A = \frac{c^2}{2} A$$

70

## 5. ACP sous : **Olympic**

### 1. Avant propos

#### Les fonctions utilisées

- Il existe un grand nombre de fonctions différentes (`PCA`, `prcomp`, `princomp`, `dudi.pca`, `cca` ...) se trouvant dans des packages différents (`vegan`, `ade4`, `stats`, `FactoMineR`)

- Les fonctions utilisées ici sont disponibles dans les bibliothèques standard de R et dans la bibliothèque `ade4`.

- Pour aider à la compréhension, l'écriture des «programmes» sera détaillée. Par la suite, vous pourrez condenser cette écriture. Mais n'oubliez pas de les commenter abondamment !

72

## 5. ACP sous R : Olympic

### 2. Rappels

- L'ACP est une méthode descriptive.
- Son objectif est de représenter sous forme graphique l'essentiel de l'information contenue dans un tableau de données **quantitatif**.
- Dans un tableau de données à  $p$  variables, les individus se trouvent dans un espace à  $p$  dimensions.
- Lorsqu'on projette ces données sur un plan, on obtient un graphique déformé de la réalité.
- Le rôle de l'ACP est de trouver des espaces de dimensions plus petites minimisant ces déformations.
- On utilise un espace à 2 dimensions. Ce plan est appelé le **plan principal**.

73

## 5. ACP sous R : Olympic

### 4. Préparation du tableau des données :

- Les données seront dans le tableau **olympic** :

```
> library(ade4)
> data(olympic)
> head(olympic$tab)
      100 long  poids haut   400   110  disq perc  javé  1500
1 11.25 7.43 15.48 2.27 48.90 15.13 49.28 4.7 61.32 268.95
2 10.87 7.45 14.97 1.97 47.71 14.46 44.36 5.1 61.76 273.02
3 11.18 7.44 14.20 1.97 48.29 14.81 43.66 5.2 64.16 263.20
4 10.62 7.38 15.02 2.03 49.06 14.72 44.80 4.9 64.04 285.11
5 11.02 7.43 12.92 1.97 47.44 14.40 41.20 5.2 57.46 256.64
6 10.83 7.72 13.58 2.12 48.34 14.18 43.06 4.9 52.18 274.07
```

- On élimine les individus ayant des valeurs manquantes (ici il n'y en a pas ...)

```
> olympic.na<-na.omit(olympic$tab)
```

- L'identifiant des individus est `row.names(olympic$tab)` Il contient le numéro de l'athlète.

75

## 5. ACP sous R : Olympic

### 3. Les données d'exemple

Le tableau des données d'exemple: **olympic** dans **ade4**

Le fichier **olympic** présente les performances au **décathlon** de 33 athlètes lors des jeux olympiques de 1988.

Les variables sont :

**dossard** : numéro du dossard  
**m100** : course 100 mètres  
**long** : saut en longueur  
**poids** : lancer du poids  
**haut** : saut en hauteur  
**m400** : course 400 mètres  
**m110** : course 110 mètres  
**disq** : lancer du disque  
**perc** : saut à la perche  
**jave** : lancer du javelot  
**m1500** : course de 1500 mètres

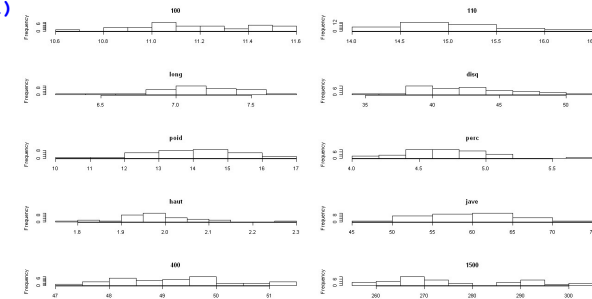
74

## 5. ACP sous R : Olympic

### 5. Description des variables, les histogrammes :

Les histogrammes de toutes les variables

```
> layout(matrix(c(1:10),5,2))
> for(i in 1:10)
  {hist(olympic$tab[,i],main=names(olympic$tab)[i],xlab=
    "")}
> layout(1)
```



## 5. ACP sous R : Olympic

### 6. Contrôle de la linéarité des relations

```
> library(psych); pairs(olympic$tab, main="Olympic")
```



77

## 5. ACP sous R : Olympic

### 7. L'A.C.P. - fonction dudi.pca (ade4)

#### • Objectifs de cette ACP

↳ Description du jeu de données pour le résumer et réduire la dimension du problème :

- *Etude des individus (i.e. des athlètes) :* variabilité entre individus
  - 2 athlètes sont proches s'ils ont des résultats similaires.
  - Y a-t-il des similarités entre les individus pour toutes les variables ?
  - Peut-on établir des profils d'athlètes ? Peut-on opposer un groupe d'individus à un autre ?
- *Etude des variables (i.e. des performances) :* liaisons linéaires entre les variables.
  - peut-on résumer les performances des athlètes par un petit nombre de variables ?
- *Lien entre les deux études :*
  - peut-on caractériser des groupes d'individus par des variables ?

79

## 5. ACP sous R : Olympic

### 7. L'A.C.P. - fonction dudi.pca (ade4)

- On lance l'ACP

Les résultats de l'analyse sont stockés dans la variable z

```
> library(ade4)
> z<- dudi.pca(olympic$tab, center = T, scale = T, scannf = F)
```

- Choix du type d'analyse :

Les options `center` et `scale` de la fonction `dudi.pca` sont utilisées pour centrer et réduire les variables.

78

## 5. ACP sous R : Olympic

### 8. Les valeurs propres et choix du nb d'axes :

- Impression des valeurs propres (variances de chaque composante):

```
> round(z$eig,2) # utiliser round() !!!!
```

```
[1] 3.42 2.61 0.94 0.88 0.56 0.49 0.43 0.31 0.27 0.10
```

- Les variances cumulées ( $\Sigma$  des variances = 10, données centrées réduites) :

```
> round(cumsum(z$eig),2)
```

```
[1] 3.42 6.02 6.97 7.85 8.40 8.89 9.32 9.63 9.90 10.00
```

- Les variances en pourcentages et pourcentages cumulés :

```
> round(z$eig/sum(z$eig)*100,2)
```

```
[1] 34.18 26.06 9.43 8.78 5.57 4.91 4.31 3.07 2.67 1.02
```

```
> round(cumsum(z$eig/sum(z$eig)*100),2)
```

```
[1] 34.18 60.25 69.68 78.46 84.03 88.94 93.24 96.31 98.98 100.00
```

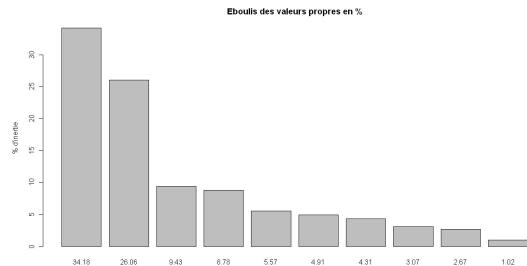
80

## 5. ACP sous R : Olympic

### 9. L'éboulis des valeurs propres

Une représentation en % de variance expliquée:

```
> inertie<-z$eig/sum(z$eig)*100
> barplot(inertie,ylab="%
  d'inertie",names.arg=round(inertie,2))
> title("Eboulis des valeurs propres en %")
```



81

## 5. ACP sous R : Olympic

### 10. Interprétation des axes : les contributions absolues et relatives

Contributions des variables à la construction des axes:

> inertia.dudi(z,col.inertia = T)\$col.abs #ctr			> inertia.dudi(z,col.inertia = T)\$col.rel #qlt		
	Comp1	Comp2		Comp1	Comp2
X100	1730	221	X100	5912	577
long	1553	231	long	-5308	-603
poid	724	2338	poid	-2475	6094
haut	451	8	haut	-1540	20
X400	1266	1240	X400	4328	3232
X110	1879	48	X110	6423	126
disq	309	2533	disq	-1056	6603
perc	1475	224	perc	-5043	583
jave	324	1384	jave	-1107	3606
X1500	289	1772	X1500	990	4619
Somme	10000	10000			

83

## 5. ACP sous R : Olympic

### 10. Interprétation des axes : les contributions absolues et relatives

```
> inertierow<-inertia.dudi(z,row.inertia=TRUE)
> inertiecol<-inertia.dudi(z,col.inertia=TRUE)
> inertierow$TOT # idem résultats p48 : vp inertie
```

#### # Analyse des variables

```
# Coordonnées des variables : G
> round(z$co,2)
# qualite de representation des variables qlt
# contributions relatives : contribution de chaque axe qui explique la
# position d'une variable ctr
> round(inertiecol$col.rel,2)/100 # qlt
# contributions absolues : contributions des variables (sites) aux axes
> inertiecol$col.abs/100 # ctr
```

#### # Analyse des individus

```
# coordonnées des individus : F
> round(z$li,2)
# contrib relative : qualite de representation des indiv : qlt
> round(inertierow$row.rel,2)/100 #qlt
# ctr absolue des indiv : ctr
> inertierow$row.abs/100 #ctr
```

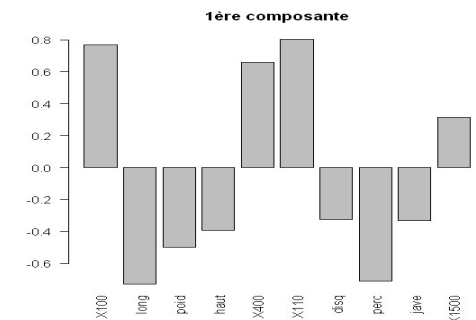
82

## 5. ACP sous R : Olympic

### 10. Interprétation des axes : graphique des coordonnées

- Profil des coordonnées des variables sur l'axe 1

```
> barplot(cc1, names.arg=row.names(z$co), las=2)
> title(main="1ère composante")
> abline(h=0)
```

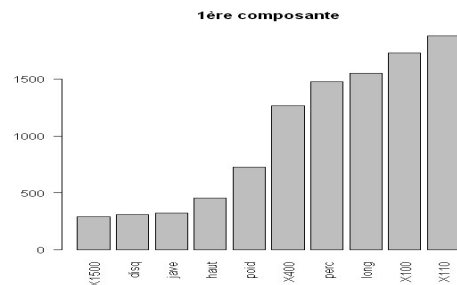


## 5. ACP sous R: Olympic

### 10. Interprétation des axes : graphique des contributions

- Profil des contributions des variables sur l'axe 1

```
> ctr<-inertia.dudi(z,col.inertia = T)$col.abs
> ctr<-ctr[order(ctr[,1]),] #trier par ordre croissant
> barplot(ctr[,1], names.arg=row.names(z$ctr), las=2)
> title(main="1ère composante")
```



85

## 5. ACP sous R: Olympic

### 11. Présentation des résultats - le plan principal

- Le résultat de l'ACP ont été stockés dans la variable `z`.
  - Les coordonnées des lignes et des colonnes se trouvent respectivement dans `z$li` et `z$co`

➤ La première composante sera :

```
cl1<-z$li[,1] # pour les individus
cc1<-z$co[,1] # pour les variables
```

➤ La deuxième composante sera :

```
cl2<-z$li[,2] # pour les individus
cc2<-z$co[,2] # pour les variables
```

87

## 5. ACP sous R: Olympic

### 10. Interprétation des axes : les contributions absolues et relatives

# Analyse des variables : tableau des ctr

Axe 1		Axe 2	
+	-	+	-
long ()	X110 ()	disq ()	
perc ()	X100 ()	poid ()	

# Analyse des individus : tableau des ctr

Axe 1		Axe 2	
+	-	+	-

86

## 5. ACP sous R: Olympic

### 11. Présentation des résultats - le plan des variables

- La représentation graphique du plan des variables :

```
> plot(cc1,cc2,type="n",
       main="Les variables",
       xlim=c(-1,1), ylim=c(-1,1),
       asp=1, #rapport entre "Echelle X" et "Echelle Y"
       ylab= "Comp2 26.1%",
       xlab= "Comp1 34.2%")
```

```
> abline(h=0,v=0)
> text(cc1,cc2,row.names(z$co))
```

- Le cercle des corrélations :

```
> symbols(0,0,circles=1,inches=FALSE,add=TRUE)
```

Ou

```
> s.corcircle(z$co)
```

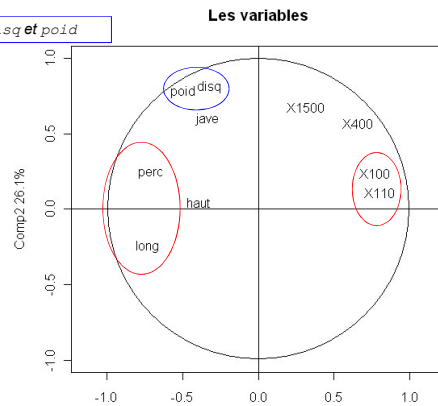
88



## 5. ACP sous R : Olympic

### 11. Présentation des résultats - plan des variables

Axe 2 : lié à disq et poid



Attention sur axe 1  
interprétation  
particulière de  
corrélation négative  
entre les variables  
100m, 110m  
opposées à  
longueur et  
perche.

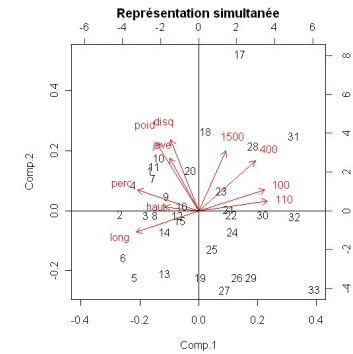
« Un athlète qui court  
vite réalise un tps  
faible et ... ici réalise  
souvent de bonnes  
performances en  
longueur et perche »

Axe 1 : surtout lié aux variables 100m,  
110m opposées à longueur et perche.

## 5. ACP sous R : Olympic

### 12. Représentation simultanée : "le biplot"

```
> olympinc.cd<-as.matrix(scale(olympic$tab))
# centrées-réduites
> biplot(princomp(olympinc.cd),main="Représentation  
simultanée",xlim=c(-0.4,+0.4))
> abline(v=0,h=0)
```

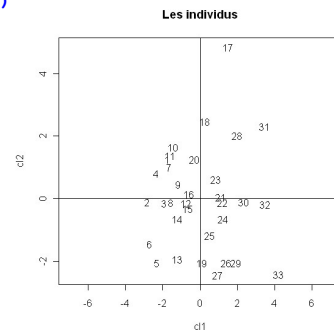


## 5. ACP sous R : Olympic

### 11. Présentation des résultats - le plan des individus

Représentation du graphique du plan des individus :

```
> plot(c11,c12,type="n",main="Les individus",xlim=c(-7,7))
> abline(h=0,v=0)
> text(c11,c12,row.names(z$li))
```



Axe 1 oppose des profils de performance  
élevés en 100m, 110m; longueur et  
perche à des profils relativement  
faibles dans ces disciplines

Axe 2 met en évidence des profils de  
performance élevés en disq et poid

## 5. ACP sous R : Olympic

### 13. Les données supplémentaires :

- La bibliothèque **ade4** propose les fonctions **supcol()** et **suprow()** pour calculer les coordonnées des variables et individus supplémentaires.
  - Ces fonctions s'utilisent après le calcul de l'ACP.

## 5. ACP sous R : Olympic

### 13. Les données supplémentaires : individus supplémentaires

- Les coordonnées des individus supplémentaires sont calculées en tenant compte des options utilisées dans l'ACP sur les individus actifs. Ici, ils seront **centré-réduits**.

```
> z<- dudi.pca(olympic$tab, center = T, scale = F)
> ligsup<-suprow(z,olympic$tab[1:3,])
```

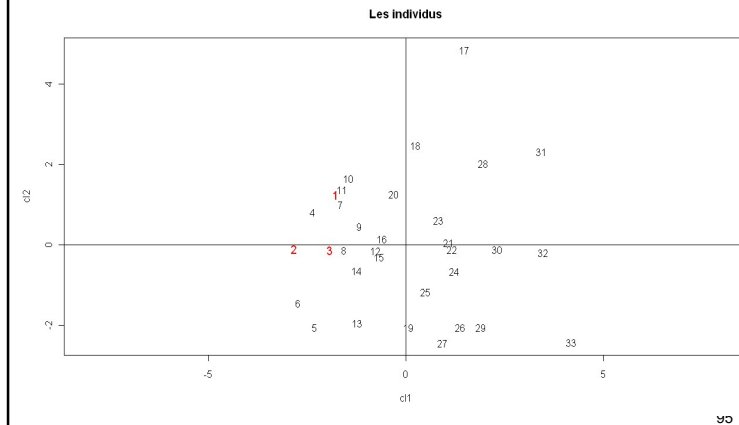
- Les coordonnées des individus supplémentaires se trouve dans **ligsup\$lisup** :

```
$tabsup
      X100      long      poid      haut      X400      X110      diaq      perc      jave      X1500
1  0.22385237  0.9899004  1.1463669  3.1040119 -0.3575966  0.1627406  1.8911534  0.1196240  0.3475947 -0.5270805
2 -1.36208476  1.0566353  0.7575448 -0.1375195 -1.4873485 -1.1798697  0.5477527  1.0950199  0.4288942 -0.2244464
3 -0.06829394  1.0232678  0.1704996 -0.1375195 -0.9367131 -0.4785061  0.3566184  1.3986809  0.8723462 -0.9546350

$lisup
      Axis1      Axis2
1 -1.759830  1.2504617
2 -2.830456 -0.1022408
3 -1.908359 -0.1390149
```

93

### 13. Les données supplémentaires : individus supplémentaires



95

## 5. ACP sous R : Olympic

### 13. Les données supplémentaires : individus supplémentaires

Représentation simultanée des individus actifs et supplémentaires

```
#coordonnées des individus actifs
> cl1<-z$li[,1]
> cl2<-z$li[,2]
#coordonnées des individus supplémentaires
> csup1<-ligsup$lisup[,1]
> csup2<-ligsup$lisup[,2]
#le graphique "vide"
> plot(cl1,cl2,type="n",main="Les individus",xlim=c(-8,8))
> abline(h=0,v=0)
#on ajoute les individus actifs
> text(cl1,cl2,row.names(z$li),)
#on ajoute les individus supplémentaires
> text(csup1,csup2,row.names(ligsup$lisup),col="red",cex=1.2)
```

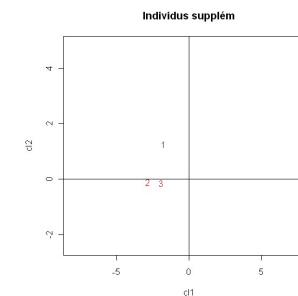
94

## 5. ACP sous R : Olympic

### 13. Les données supplémentaires : individus supplémentaires

Pour plus de lisibilité, on peut aussi **représenter séparément** les individus supplémentaires

```
> plot(cl1,cl2,type="n",main="Individus supplém",xlim=c(-8,8))
> abline(h=0,v=0)
> text(csup1,csup2,row.names(ligsup$lisup),col="red",cex=1.1)
```



96

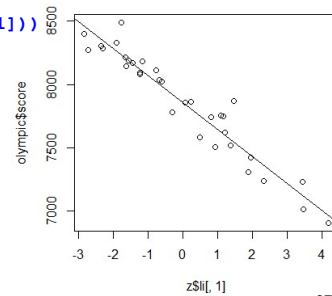
## 5. ACP sous R: Olympic

### 14. L'ACP et régression ...

Dans la table `olympic`, on dispose aussi d'un vecteur `score` représentant les scores finaux obtenus par chaque compétiteur à la compétition, il est alors possible de prévoir le score final de chaque athlète en fonction de la 1<sup>ère</sup> CP, au lieu d'utiliser les 10 variables et ... ça marche bien !

```
> plot(z$li[,1],olympic$score)
> abline(lm(olympic$score~z$li[,1]))
```

Prévision du score en fonction de la 1<sup>ère</sup> composante principale par lm



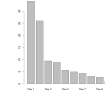
97

## 5. ACP sous R: Olympic

### 15. L'ACP avec FactoMineR ... PCA( )

```
> library(FactoMineR)
# ACPN
> res.pca = PCA(olympic$tab, scale.unit=TRUE, ncp=2, graph=T)
# choisir le nb d'axes
> barplot(res.pca$eig[,2],
          names=paste("Dim",1:nrow(res.pca$eig)))
# % d'inertie expliquée par chaque axe
> round(res.pca$eig,2)

eigenvalue percentage of variance cumulative percentage of variance
comp 1      3.42             34.18                      34.18
comp 2      2.61             26.06                      60.25
comp 3      0.94              9.43                      69.68
comp 4      0.88              8.78                      78.46
comp 5      0.56              5.57                      84.03
comp 6      0.49              4.91                      88.94
comp 7      0.43              4.31                      93.24
comp 8      0.31              3.07                      96.31
comp 9      0.27              2.67                      98.98
comp 10     0.10              1.02                     100.00
```



99

## 5. ACP sous R: Olympic

### 15. L'ACP avec FactoMineR ...

Voir <http://factominer.free.fr/classical-methods/analyse-en-composantes-principales.html>

Autre Package R :

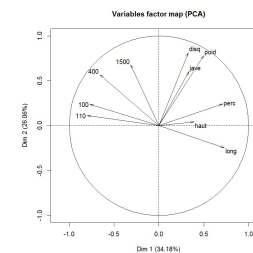
- dédié à l'analyse exploratoire multidimensionnelle de données « à la Française »
- permet de réaliser :
  - des analyses classiques telles que ACP, Analyse Factorielles des Correspondances (AFC) et Analyse Factorielles des Correspondances Multiples (AFCM) ainsi que
  - des analyses plus avancées.
- développé et maintenu par F. Husson, J. Josse, S. Lê (Agrocampus Rennes), et J. Mazet.

98

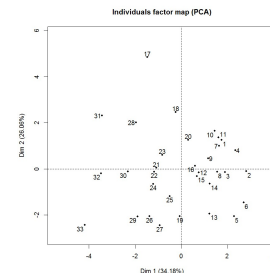
## 5. ACP sous R: Olympic

### 15. L'ACP avec FactoMineR ... PCA( )

# 2 axes : analyse graphique des résultats



ACP Olympic Plan 1-2 : cercle des corrélations



ACP Olympic Plan 1-2 : représentation des individus

100

## 5. ACP sous R: Olympic

### 15. L'ACP avec FactoMineR ... PCA ( )

```
# Précisions sur les interprétations
# Pour les individus : res.pca$ind
# tableau : coord, qtl de la projection et ctr des individus pour chaque axe
> round(cbind(res.pca$ind$coord[,1:2], res.pca$var$cos2[,1:2], res.pca$ind$contrib[,1:2]), digits=2)

  Dim.1 Dim.2 Dim.1 Dim.2 Dim.1 Dim.2
1  1.76  1.25  0.19  0.10  2.75  1.82
2  2.83 -0.10  0.90  0.00  7.10  0.01
3  1.91 -0.14  0.61  0.00  3.23  0.02
4  2.35  0.81  0.57  0.07  4.89  0.76
5  2.30 -2.05  0.47  0.38  4.67  4.89
6  2.72 -1.45  0.51  0.15  6.54  2.46
7  ...

# Pour les variables : res.pca$var
> round(cbind(res.pca$var$coord[,1:2], res.pca$var$cos2[,1:2], res.pca$var$contrib[,1:2]), digits=2)

  Dim.1 Dim.2 Dim.1 Dim.2 Dim.1 Dim.2
100 -0.77  0.24  0.59  0.06 17.30  2.21
long  0.73 -0.25  0.53  0.06 15.53  2.31
poid  0.50  0.78  0.25  0.61  7.24 23.38
haut  0.39  0.05  0.15  0.00  4.51  0.08
400 -0.66  0.57  0.43  0.32 12.66 12.40
110 -0.80  0.11  0.64  0.01 18.79  0.48
disq  0.33  0.81  0.11  0.66  3.09 25.33
perc  0.71  0.24  0.50  0.06 14.75  2.24
jave  0.33  0.60  0.11  0.36  3.24 13.84
1500 -0.31  0.68  0.10  0.46  2.89 17.72
```

summary(res.pca, ncp=2, nbelements=3)

101

## 5. ACP sous R: Olympic

### 15. L'ACP avec Factoshiny

Factoshiny permet d'utiliser une interface graphique interactive et conviviale pour réaliser les analyses précédentes via la fonction **PCAshiny** !

```
library(Factoshiny)
PCAshiny(olympic$tab)
```

103

## 5. ACP sous R: Olympic

### 15. L'ACP avec FactoMineR ... PCA ( )

```
# description automatique des principales dimensions de variabilité : dimdesc ( )
# Tri des quantitatives en fonction de cor(X,F), seuls les + signif sont conservés
> dimdesc(PCA(olympic$tab, scale.unit=TRUE, graph=F))

$Dim.1
$Dim.1$quant1
      correlation      p.value
long  0.7285412 1.533797e-06
perc  0.7101094 3.679521e-06
poid  0.4975355 3.218939e-03
haut  0.3924767 2.387193e-02
400   -0.6579077 3.170485e-05
100   -0.7689031 1.723515e-07
110   -0.8014415 2.095129e-08

$Dim.2
$Dim.2$quant1
      correlation      p.value
disq  0.8126000 9.288574e-09
poid  0.7806386 8.397179e-08
1500  0.6796201 1.364084e-05
jave  0.6004996 2.201837e-04
400   0.5685383 5.565015e-04

$Dim.3
$Dim.3$quant1
      correlation      p.value
haut  0.8303924 2.257166e-09
```

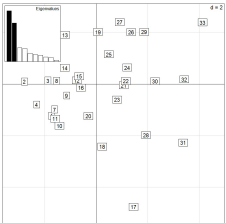
Pour aller plus loin, voir par exemple :  
<http://factominer.free.fr/classical-methods/analyse-en-composantes-principales.html>

102

## 6. Analyse d'un Tableau de distances sous R

### 1. Distances euclidiennes : Olympic

```
> library(ade4) ; data(olympic)
> D.Olympic<- dist(scale(olympic$tab))
# matrice de distances données centrées réduites !!!
> dim(as.matrix(D.Olympic)) # Dimension de la matrice de distances 33*33
# Analyse en coordonnées principales de la matrice de distances
> Olympic.pco<-dudi.pco(D.Olympic,nf=2)
> scatter(Olympic.pco)
# coordonnées dans le plan 1-2 des 33 individus
```



```
# Autre solution cmdscale ( )
# pour Classical (Metric) Multidimensional Scaling
# ou principal coordinates analysis (Gower, 1966)
> cmdscale(D.Olympic, k=2, eig=T)
# Analyse factorielle de la matrice de distance
> Olympic.mds$eig # valeurs propres = (n-1)*valeurs propres de l'ACP
> colMeans(Olympic.mds$points) # la matrice est centrée
> round(diag(var(Olympic.mds$points)), 3)
# Variances des colonnes = valeurs propres de l'ACP
```

104

## 6. Analyse d'un Tableau de distances sous R

### 2. Distances non euclidiennes : capitales (ade4)

```
> library(ade4) ; data(capitales)
# cmdscale(stats) ou cailliez(ade4) fournissent une approximation de la cte c^2
# positionnement multidimensionnel
> dim(as.matrix(capitales$dlist))
[1] 15 15
> attr(capitales$dlist, "Labels")
[1] "Madrid" "Paris" "London" "Dublin" "Rome" "Brussels"
"Amsterdam" "Berlin" "Copenhagen" "Stockholm" "Luxembourg" "Helsinki"
"Vienna" "Athens" "Lisbon"
> d0 <- as.dist(capitales$dlist)
> is.euclid(d0)
[1] FALSE
> d1 <- cailliez(d0, TRUE) # Transformation to make Euclidean a distance matrix
Cailliez constant = 2429.87867
> is.euclid(d1)
[1] TRUE
> plot(d0, d1) ; abline(lm(unclass(d1)~unclass(d0)))
> print(coefficients(lm(unclass(d1)~unclass(d0))), dig = 8) # d1 = d + Cte
> is.euclid(d0 + 2428) # FALSE
> is.euclid(d0 + 2430) # TRUE the smallest constant
```

105

## Ce qu'il faut retenir

- Il existe plusieurs méthodes d'analyse de données. on retiendra la plus appropriée en fonction :
  - du type de données dont on dispose, et
  - de l'objectif recherché.
- L'ACP en est une. Elle permet de :
  - décrire et de synthétiser sous forme de cartes l'information contenue dans un tableau de données quantitatives en essayant de déformer le moins possible les distances entre les points ;
  - simplifier et schématiser les liaisons entre variables ; détecter des liaisons entre variables ;
  - localiser les regroupements d'observations ou de variables ;
  - détecter des observations exceptionnelles ou aberrantes, d'éventuels groupes isolés d'observations ;
  - construire des variables synthétiques non-corrélées (régression sur composantes principales, ...).
- PCoA et, de manière plus générale, MDS permettent quant à elles de traiter directement d'une matrice de distances ou de dissemblances.

107

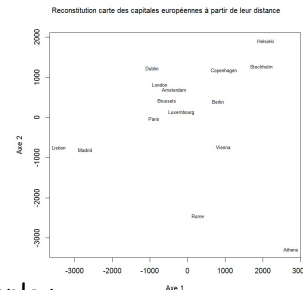
## 6. Analyse d'un Tableau de distances sous R

### 2. Distances non euclidiennes : capitales (ade4)

```
# d1 <- cailliez(d0, TRUE) # Transformation to make Euclidean a distance matrix
```

Cailliez constant = 2429.87867

```
> capitales.mds<-
cmdscale(d1,k=2,add=T,eig=T)
> plot(capitales.mds$points[,1:2],
      xlab="Axe 1",ylab="Axe 2",type="n")
> text(capitales.mds$points[,1:2],
      label= attr(capitales$dlist, "Labels"),cex=0.7)
> mtext(outer=T,"Reconstitution carte des
capitales européennes à partir de leur
distance",side="3",line=-2,cex=1.0)
```



Pour aller plus loin , voir par exemple :

- la fonction `wcmdscale` (Weighted Classical Multidimensional Scaling) dans la library `vegan` ;
- la fonction `smacofSym` (Multidimensional scaling (stress minimization: SMACOF) on symmetric dissimilarity matrix) dans la library `SMACOF` ;
- <http://www.r-bloggers.com/7-functions-to-do-metric-multidimensional-scaling-in-r/>

106

## Exercices Td/TP ch II: ACP « à la main », fonction sous R

### Données supplémentaires

Données	Description
Eaux1	Corpus 20 eaux minérales décrites par 7 variables
Eaux2	Corpus données supplémentaires
Projet M1 AD 1920.csv	Corpus 1000 gènes pour 40 individus
Diabete	Corpus de 46 patients et 5 variables
Glucose	Résultats d'analyse du glucose dans le sang à trois occasions pour 52 femmes à jeun et une heure après avoir consommé du sucre
Capitales	<code>capitales(ade4)</code>

Travail sur Projet M1 AD 1920.csv à rendre par binôme  
au plus tard semaine 43 (IS) ou 45 (Info) lors du dernier TP :  
1 version papier + envoi mail (version pdf, données et script R)

108

## Références logiciels

- Logiciel  :  
URL <http://www.R-project.org>.
- library **ade4** :
  - Jean Thioulouse, Anne-Beatrice Dufour and Daniel Chessel (2004). ade4: Analysis of Environmental Data : Exploratory and Euclidean methods in Environmental sciences. R package version 1.3-3. <http://pbil.univ-lyon1.fr/ADE-4>
- library **FactoMineR**
- **Autres logiciels** :
  - SAS (proc princomp, Macros INSEE)
  - STATA (commande pca)
  - SPAD

109

## Références bibliographiques

- L. Bellanger, R. Tomassone, *Exploration de données et méthodes statistiques : Data analysis & Data mining avec R. Collection Références Sciences*, Editions Ellipses, Paris, 2014.
- A. Bouchier, Documents et supports de cours disponibles sur le site : <http://rstat.ouvaton.org/>
- J.-M. Bouroche & G. Saporta, *L'analyse des données*. Presses Universitaires de France : Que sais-je ? 85, Paris, 1992.
- J.-F. Durand, support intitulé « Elts de Calcul matriciel et d'Analyse Factorielle de Données » disponible sur le site: [www.math.univ-montp2.fr/~durand](http://www.math.univ-montp2.fr/~durand)
- F. Husson, S. Lê & J. Pagès, *Analyse de données avec R*. PUR, Rennes, 2009.
- L. Lebart, A. Morineau, M. Piron, *Statistique exploratoire multidimensionnelle*. Dunod, Paris, 2006.
- G. Saporta, *Probabilités, Analyse des données*. Editions Technip, Paris, 2006.
- Statistics with R : [http://zoonek2.free.fr/UNIX/48\\_R/all.html](http://zoonek2.free.fr/UNIX/48_R/all.html)
- Une belle galerie de graphiques effectués avec R : <http://addictedtor.free.fr/graphiques/>

110